

УДК: 547+544

## Синтез и противоокислительные свойства $\omega$ -[3-(4-гидроксиарил)пропилтио]алкановых кислот

Ю. Н. ТРУБНИКОВА<sup>1</sup>, С. Е. ЯГУНОВ<sup>1</sup>, Н. А. ГААС<sup>1</sup>, А. С. ОЛЕЙНИК<sup>1</sup>, Н. В. КАНДАЛИНЦЕВА<sup>1,2</sup>, А. Е. ПРОСЕНКО<sup>1,2</sup><sup>1</sup>НИИ химии антиоксидантов Новосибирского государственного педагогического университета, ул. Вилейская, 28, Новосибирск 630126 (Россия)

E-mail: chemistry@ngs.ru

<sup>2</sup>Новосибирский институт антиоксидантов, ул. Вилейская, 28, Новосибирск 630126 (Россия)

### Аннотация

На основе бромпропил-, меркаптопропил- и аллилзамещенных фенолов осуществлен синтез  $\omega$ -[3-(4-гидроксиарил)пропилтио]алкановых кислот. В модельной реакции автоокисления метилолеата показано, что синтезированные  $\omega$ -[3-(3,5-ди-*трет*-бутил-4-гидроксифенил)пропилтио]алкановые кислоты по антиокислительной активности превосходят антиоксидант фенозан благодаря наличию в их структуре сульфидных групп.

**Ключевые слова:** фенолы, полифункциональные антиоксиданты, тиоалкановые кислоты, фенозан, антиоксидантная активность

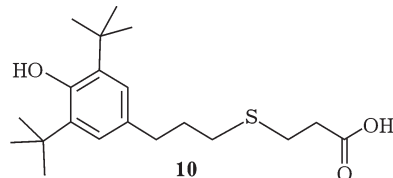
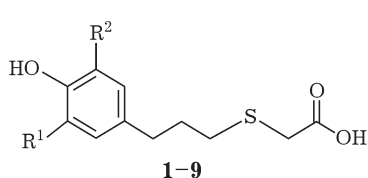
### ВВЕДЕНИЕ

К настоящему времени надежно установлено, что усиление интенсивности свободно-радикального окисления в живых организмах (окислительный стресс) приводит к возникновению и развитию широкого спектра заболеваний и патологических состояний [1]. Это определяет актуальность поиска антиоксидантов для эффективной профилактики и коррекции патофизиологических эффектов окислительного стресса.

К числу препаратов, перспективных для использования в биологии и медицине, относится антиоксидант фенозан [ $\omega$ -(3,5-ди-*трет*-бутил-4-гидроксифенил)пропионовая кислота], который проявляет в широком диапазоне

не концентраций выраженную биологическую активность, в частности противоопухолевые [2] и радиозащитные [3, 4] свойства, противосудорожное и ноотропное действие [5]. С другой стороны, фенольные соединения, включающие в свою структуру атом бивалентной серы, считаются эффективными биоантиоксидантами. Так, по способности ингибировать окисление в биологических системах эти соединения, как правило, превосходят не содержащие серы аналоги [6–8].

В этой связи в настоящей работе осуществлен синтез и проведено сравнительное исследование противоокислительных свойств серосодержащих аналогов фенозана –  $\omega$ -[3-(4-гидроксиарил)пропилтио]алкановых кислот **1–10** (схема 1).



$R^1 = R^2 = t\text{-Bu}$  (**1**), H (**2**), Me (**3**), цикло- $C_6H_{11}$  (**4**);  $R^1 = \text{Me}$ ,  $R^2 = t\text{-Bu}$  (**5**), цикло- $C_6H_1$  (**6**);  $R^1 = \text{H}$ ,  $R^2 = \text{OMe}$  (**7**),  $t\text{-Bu}$  (**8**), цикло- $C_6H_{11}$  (**9**).

Схема 1.

## ЭКСПЕРИМЕНТАЛЬНАЯ ЧАСТЬ

Соединения **1–10** получали из 3-(4-гидроксиарил)-1-бромпропанов [9], 4-аллил-2,6-диалкилфенолов [9, 10], 3-(3,5-ди-*трем*-бутил-4-гидроксифенил)пропантиола-1 [11, 12] и 4-аллил-2-метоксифенола (Aldrich) по реакциям с товарными кислотами: 2-меркаптоэтановой (Россия), 2-хлорэтановой (Россия) и 3-бромпропановой (Merck).

**2-[3-(3,5-Ди-*трем*-бутил-4-гидроксифенил)пропилтио]этановая кислота (1).** К раствору 5 г (15.3 ммоль) 3-(3,5-ди-*трем*-бутил-4-гидроксифенил)-1-бромпропана в 25 мл этанола в атмосфере аргона прибавляли 2 г (50 ммоль) NaOH и 2.1 г (22.8 ммоль) 2-меркаптоэтановой кислоты в 15 мл воды, нагревали и перемешивали в течение 4 ч при 40 °C. Затем реакционную массу охлаждали, нейтрализовали HCl, обрабатывали толуолом, экстракт промывали водой, сушили  $\text{Na}_2\text{SO}_4$ , отгоняли растворитель. Остаток промывали теплым гексаном и высушивали. Получали 4.51 г (87 %) целевой кислоты **1** (табл. 1).

Аналогичным образом получены 2-[3-(4-гидроксифенил)пропилтио]этановая кислота **2**, 2-[3-(3,5-диметил-4-гидроксифенил)пропилтио]этановая кислота **3**, 2-[3-(3-*трем*-бутил-4-гидроксифенил)пропилтио]этановая кислота **8**, 2-[3-(3-циклогексил-4-гидроксифенил)пропилтио]этановая кислота **9**.

**2-[3-(3,5-Диметил-4-гидроксифенил)пропилтио]этановая кислота (3).** Смесь 5 г (30.8 ммоль) 2,6-диметил-4-аллилфенола, 4.25 г (46.2 ммоль) 2-меркаптоэтановой кислоты и 0.52 г (1.85 ммоль) 4,4'-азо-бис(4-циановалериановой кислоты) (АЦВК, Aldrich) нагревали и перемешивали в течение 4 ч при 120 °C в атмосфере аргона. Далее реакционную массу охлаждали и обрабатывали толуолом. Экстракт промывали водным раствором NaCl, затем обрабатывали водным раствором KOH (1.7 г (30 ммоль) KOH в 40 мл воды). Щелочной экстракт отделяли, затем подкисляли и обрабатывали толуолом. Полученный экстракт промывали водой до получения нейтральной реакции промывных вод, сушили  $\text{Na}_2\text{SO}_4$ , отгоняли растворитель. Получали 5.67 г (82 %) целевой кислоты **3**.

Аналогичным образом получены 2-[3-(3,5-дициклогексил-4-гидроксифенил)пропилтио]этановая кислота **4**, 2-[3-(3-метил-5-*трем*-

бутил-4-гидроксифенил)пропилтио]этановая кислота **5**, 2-[3-(3-метил-5-циклогексил-4-гидроксифенил)пропилтио]этановая кислота **6**, 2-[3-(3-метокси-4-гидроксифенил)пропилтио]этановая кислота **7**.

**3-[3-(3,5-Ди-*трем*-бутил-4-гидроксифенил)пропилтио]пропановая кислота (10).** К раствору 5 г (17.8 ммоль) 3-(3,5-ди-*трем*-бутил-4-гидроксифенил)пропантиола-1 в 20 мл этанола прибавляли 1.93 г (48.2 ммоль) NaOH в 15 мл воды, затем 4.1 г (25.5 ммоль) 3-бромпропановой кислоты. Смесь нагревали и перемешивали в течение 4 ч при 40 °C. Затем реакционную массу охлаждали, нейтрализовали HCl, обрабатывали толуолом, экстракт промывали водой, сушили  $\text{Na}_2\text{SO}_4$ , отгоняли растворитель. Получали 5.76 г (92 %) целевой кислоты **10**.

Спектры ЯМР  $^1\text{H}$  записаны на спектрометре Bruker DRX500 с рабочей частотой 500.13 МГц: для соединений **1**, **3–10** – в  $\text{CDCl}_3$  относительно  $\text{CHCl}_3$ , для соединения **2** – в  $\text{D}_2\text{O}$  относительно  $\text{Si}(\text{CH}_3)_4$ . Температуры плавления определяли на приборе ПТП (Россия).

Окисление метилолеата (Acros Organics) проводили на воздухе при 60 °C. Масса окисляемой пробы составляла 5 г, концентрация исследуемых соединений – 1 мкмоль/г. В течение эксперимента отбирали пробы по 0.1 г и определяли содержание пероксидных соединений железороданидным методом по методике, описанной в [13], с использованием спектрофотометра Specord UV VIS. За период индукции принимали время достижения пероксидного числа 0.05 %  $I_2$ . Исходное пероксидное число (ПЧ) метилолеата составляло 0.002 %  $I_2$ . В качестве реперного антиоксиданта использовали 3-(3,5-ди-*трем*-бутил-4-гидроксифенил)пропановую кислоту (фенозан, “НИИ Химполимер”, Россия).

Построение и математическую обработку кинетических кривых проводили с использованием программы Origin 6.0.

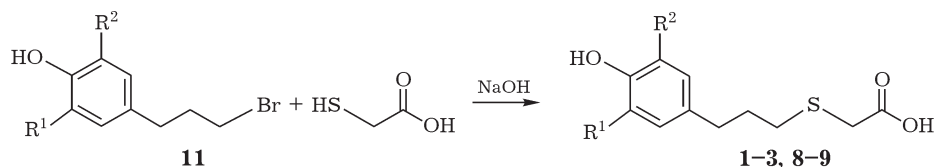
О противопероксидной активности синтезированных соединений судили по их влиянию на кинетику разложения гидропероксида кумула (ГПК, Aldrich) при 60 °C. Эксперименты проводили в среде ледяной уксусной кислоты (Россия) при исходной концентрации ГПК 0.1 моль/л, концентрации исследуемых соединений – 0.01 моль/л. Степень разложения ГПК контролировали железороданидным способом по методике, описанной в работе [13].

ТАБЛИЦА 1

Выходы, температуры плавления, данные элементного анализа и спектров ЯМР  $^1\text{H}$  синтезированных соединений

Соединения	Выход, %	Т. плав., $^{\circ}\text{C}$	Элементный анализ <sup>a</sup> , %		Брутто-формула	ЯМР $^1\text{H}$ спектр, $\delta$ , м.д.
			C	H		
<b>1</b>	87 <sup>6</sup>	Смола	67.62/67.42	9.00/8.93	9.74/9.47	$\text{C}_{19}\text{H}_{30}\text{O}_3\text{S}$ 1.46 с (18H, <i>t</i> -Bu), 1.92 м (2H, ArCH <sub>2</sub> CH <sub>2</sub> ), 2.64 т (2H, ArCH <sub>2</sub> ), J 7 Гц, 2.71 т (2H, Ar(CH <sub>2</sub> ) <sub>2</sub> CH <sub>2</sub> ), J 7 Гц, 3.21 с (2H, CH <sub>2</sub> COOH), 4.95 уп. с (1H, ArOH), 6.92 с (2H, H <sub>aprom</sub> ), 11.86 уп. с (1H, COOH)
<b>2</b>	77 <sup>6</sup>	93–95	58.15/58.38	6.07/6.24	14.36/14.17	$\text{C}_{11}\text{H}_{14}\text{O}_3\text{S}$ 2.16 м (2H, ArCH <sub>2</sub> CH <sub>2</sub> ), 2.93 м (4H, ArCH <sub>2</sub> CH <sub>2</sub> CH <sub>2</sub> ), 3.65 с (2H, CH <sub>2</sub> COOH), 7.15 л (2H, H <sub>aprom</sub> ), J 8.5 Гц, 7.44 д (2H, H <sub>aprom</sub> ), J 8.5 Гц, 1.85 м (2H, ArCH <sub>2</sub> CH <sub>2</sub> ), 2.20 с (6H, Me), 2.57 м (4H, CH <sub>2</sub> CH <sub>2</sub> CH <sub>2</sub> ), 3.19 с (2H, CH <sub>2</sub> COOH), 4.95 с (1H, ArOH), 6.74 с (2H, H <sub>aprom</sub> )
<b>3</b>	89 <sup>6</sup>	67–69	61.19/61.39	7.07/7.13	12.90/12.60	$\text{C}_{13}\text{H}_{18}\text{O}_3\text{S}$ 1.29 м (2H, <i>чикало</i> -C <sub>6</sub> H <sub>11</sub> ), 1.41 м (8H, <i>чикало</i> -C <sub>6</sub> H <sub>11</sub> ), 1.85 м (10H, <i>чикало</i> -C <sub>6</sub> H <sub>11</sub> ), 2H, ArCH <sub>2</sub> CH <sub>2</sub> CH <sub>2</sub> ), 2.62 м (4H, ArCH <sub>2</sub> CH <sub>2</sub> CH <sub>2</sub> ), 2H, <i>чикало</i> -C <sub>6</sub> H <sub>11</sub> ), 3.23 с (2H, CH <sub>2</sub> COOH), 6.71 с (2H, H <sub>aprom</sub> )
<b>4</b>	82 <sup>b</sup>	Смола	70.84/70.73	8.73/8.77	8.29/8.21	$\text{C}_{23}\text{H}_{34}\text{O}_3\text{S}$ 1.41 л (9H, <i>t</i> -Bu), 1.89 м (2H, ArCH <sub>2</sub> CH <sub>2</sub> ), 2.21 с (3H, Me), 2.60 т (2H, ArCH <sub>2</sub> ), J 7 Гц, 2.67 т (2H, Ar(CH <sub>2</sub> ) <sub>2</sub> CH <sub>2</sub> ), J 7 Гц, 3.19 с (2H, CH <sub>2</sub> COOH), 4.00–6.00 уп. с (1H, ArOH), 6.75 д (2H, H <sub>aprom</sub> ), J 2 Гц, 6.87 д (2H, H <sub>aprom</sub> ), J 2 Гц, 8.00–13.00 уп. с (1H, COOH)
<b>5</b>	94 <sup>b</sup>	Смола	64.81/64.83	8.24/8.16	10.89/10.82	$\text{C}_{16}\text{H}_{24}\text{O}_3\text{S}$ 1.23 м (1H, <i>чикало</i> -C <sub>6</sub> H <sub>11</sub> ), 1.42 м (4H, <i>чикало</i> -C <sub>6</sub> H <sub>11</sub> ), 1.83 м (5H, <i>чикало</i> -C <sub>6</sub> H <sub>11</sub> ), 2H, ArCH <sub>2</sub> CH <sub>2</sub> ), 2.18 с (3H, Me), 2.57 т (2H, ArCH <sub>2</sub> ), J 7 Гц, 2.63 т (2H, Ar(CH <sub>2</sub> ) <sub>2</sub> CH <sub>2</sub> ), J 7 Гц, 2.71 м (1H, <i>чикало</i> -C <sub>6</sub> H <sub>11</sub> ), 3.15 с (2H, CH <sub>2</sub> COOH), 6.68 д (1H, H <sub>aprom</sub> ), J 2 Гц, 1.88 м (2H, ArCH <sub>2</sub> CH <sub>2</sub> ), 2.62 м (4H, ArCH <sub>2</sub> CH <sub>2</sub> CH <sub>2</sub> ), 3.18 с (2H, CH <sub>2</sub> COOH), 3.84 с (3H, OMe), 6.60 м (2H, H <sub>aprom</sub> ), 6.75 д (1H, H <sub>aprom</sub> ), J 8.5 Гц, 8.00–13.00 уп. (2H, OH, COOH)
<b>6</b>	92 <sup>b</sup>	Смола	67.11/67.05	8.23/8.13	9.89/9.94	$\text{C}_{18}\text{H}_{26}\text{O}_3\text{S}$ 1.38 с (9H, <i>t</i> -Bu), 1.88 м (2H, ArCH <sub>2</sub> CH <sub>2</sub> ), 2.62 т (2H, ArCH <sub>2</sub> ), J 7 Гц, 2.61 т (4H, Ar(CH <sub>2</sub> ) <sub>2</sub> CH <sub>2</sub> ), J 7 Гц, 3.23 с (2H, CH <sub>2</sub> COOH), 6.55 д (1H, H <sub>aprom</sub> ), J 8 Гц, 6.85 дд (1H, H <sub>aprom</sub> ), J 8 Гц, J 2 Гц, 7.03 д (1H, H <sub>aprom</sub> ), J 2 Гц)
<b>7</b>	85 <sup>b</sup>	Смола	56.19/56.23	6.33 6.29	12.48/12.51	$\text{C}_{12}\text{H}_{16}\text{O}_4\text{S}$ 1.27 м (1H, <i>чикало</i> -C <sub>6</sub> H <sub>11</sub> ), 1.41 м (4H, <i>чикало</i> -C <sub>6</sub> H <sub>11</sub> ), 1.75 м (1H, <i>чикало</i> -C <sub>6</sub> H <sub>11</sub> ), 1.84 м (4H, <i>чикало</i> -C <sub>6</sub> H <sub>11</sub> ), 1.89 м (2H, ArCH <sub>2</sub> CH <sub>2</sub> ), 2.63 т (2H, ArCH <sub>2</sub> ), J 7 Гц, 2.66 т (2H, Ar(CH <sub>2</sub> ) <sub>2</sub> CH <sub>2</sub> ), J 7 Гц, 2.79 м (1H, <i>чикало</i> -C <sub>6</sub> H <sub>11</sub> ), 3.25 с (2H, CH <sub>2</sub> COOH), 6.66 д (1H, H <sub>aprom</sub> ), J 8 Гц, J 2 Гц, J 8 Гц, J 2 Гц, 6.97 д (1H, H <sub>aprom</sub> ), J 2 Гц
<b>8</b>	75 <sup>6</sup>	Смола	63.56/63.80	7.76/7.85	11.71/11.35	$\text{C}_{15}\text{H}_{22}\text{O}_3\text{S}$ 1.42 с (18H, <i>t</i> -Bu), 1.87 м (4H, <i>чикало</i> -C <sub>6</sub> H <sub>11</sub> ), 1.89 м (2H, ArCH <sub>2</sub> CH <sub>2</sub> ), 2.63 т (2H, ArCH <sub>2</sub> ), J 7 Гц, 2.66 т (2H, Ar(CH <sub>2</sub> ) <sub>2</sub> CH <sub>2</sub> ), J 7 Гц, 3.23 с (2H, CH <sub>2</sub> COOH), 6.55 д (1H, H <sub>aprom</sub> ), J 8 Гц, J 2 Гц, 7.03 д (1H, H <sub>aprom</sub> ), J 2 Гц)
<b>9</b>	85 <sup>6</sup>	96–98	66.33/66.20	7.68/7.84	10.25/10.39	$\text{C}_{17}\text{H}_{24}\text{O}_3\text{S}$ 1.42 с (18H, <i>t</i> -Bu), 1.87 м (4H, <i>чикало</i> -C <sub>6</sub> H <sub>11</sub> ), 1.89 м (2H, ArCH <sub>2</sub> CH <sub>2</sub> ), 2.63 т (2H, ArCH <sub>2</sub> ), J 7 Гц, 2.66 т (2H, Ar(CH <sub>2</sub> ) <sub>2</sub> CH <sub>2</sub> ), J 7 Гц, 3.23 с (2H, CH <sub>2</sub> COOH), 6.55 д (1H, H <sub>aprom</sub> ), J 8 Гц, J 2 Гц, 7.03 д (1H, H <sub>aprom</sub> ), J 2 Гц)
<b>10</b>	92 <sup>c</sup> (94–95 [14])	95–97	68.01/68.14	9.27/9.15	9.39/9.09	$\text{C}_{20}\text{H}_{32}\text{O}_3\text{S}$ 1.42 с (18H, <i>t</i> -Bu), 1.87 м (2H, CH <sub>2</sub> CH <sub>2</sub> CH <sub>2</sub> ), 2.56 т (2H, Ar(CH <sub>2</sub> ) <sub>2</sub> CH <sub>2</sub> ), J 7 Гц, 2.60 т (2H, ArCH <sub>2</sub> CH <sub>2</sub> ), J 7 Гц, 2.77 т (2H, CH <sub>2</sub> COOH), J 7 Гц, 5.04 с (1H, ArOH), 6.96 с (2H, H <sub>aprom</sub> )

<sup>a</sup> Первое значение – найдено, второе – вычислено.<sup>b</sup> Целевые кислоты **1**–**10** получены из 3-(4-гидроксиарил)-1-бромпропанов.<sup>c</sup> Целевые кислоты **1**–**10** получены из 4-аллил-2,6-диалкилфенолов.<sup>г</sup> Целевые кислоты **1**–**10** получены из 3-(3,5-ди-*трет*-бутил-4-гидроксифенил)пропанита-1.



$R^1 = R^2 = t\text{-Bu}$  (**1**), H (**2**), Me (**3**),  $R^1 = H$ ,  $R^2 = t\text{-Bu}$  (**8**), цикло- $C_6H_{11}$  (**9**)

Схема 2.

### РЕЗУЛЬТАТЫ И ОБСУЖДЕНИЕ

Соединения **1–10** получены с использованием различных подходов, выбор которых определялся с учетом доступности исходных синтонов.

Кислоты **1–3** и **8, 9** получали по реакциям соответствующих бромпропилфенолов **11** с 2-меркаптоэтановой кислотой (схема 2).

Синтезы проводили в присутствии добавок NaOH, поскольку образующиеся в щелочной среде тиолят-ионы  $RS^-$  по нуклеофильности превосходят соответствующие тиолы  $RSH$ . Кроме того, в реакцию вводили 1.5-кратный избыток меркаптоэтановой кислоты для предотвращения побочной реакции конденсации бромпропилфенолов вследствие атаки фенолят-ионов по связи C–Br. В таких условиях, независимо от числа и строения орто-заместителей в молекулах бромпроизводных **11**, их взаимодействие с 2-меркаптоэтановой кислотой протекало гладко и приводило к образованию целевых продуктов с высокими выходами (75–89 %).

В сходных условиях из тиола **12** и 3-бромпропановой кислоты с выходом 92 % получена тиопропановая кислота **10** (схема 3).

Следует отметить, что наши попытки получить кислоту **1** по реакции тиола **12** и 2-хлорэтановой кислотой оказались менее успешными. Полной конверсии тиола **12** не удалось добиться ни повышением молярного избытка хлорэтановой кислоты до четырехкратного, ни увеличением длительности нагревания реакционной смеси до 6–7 ч: выход кислоты **1** в лучшем случае составил 68 %. Данний результат, очевидно, связан с тем, что в анионе  $ClCH_2COO^-$  отрицательно заряженная группа непосредственно связана с атомом углерода, подвергающимся нуклеофильной атаке со стороны тиолята.

Получение некоторых  $\omega$ -[3-(3,5-диалкил-4-гидроксиарил)пропилтио]алкановых кислот путем свободнорадикального тиилирования соответствующих пара-аллилфенолов меркаптоалкановыми кислотами и их эфирами ранее было описано в работе [14]. В отличие от ее авторов, мы проводили взаимодействие аллилфенолов **13** с 2-меркаптоэтановой кислотой с использованием другого азогенициатора, при этом выход целевых тиоэтановых кислот **3–7** составлял 82–94 % (схема 4).

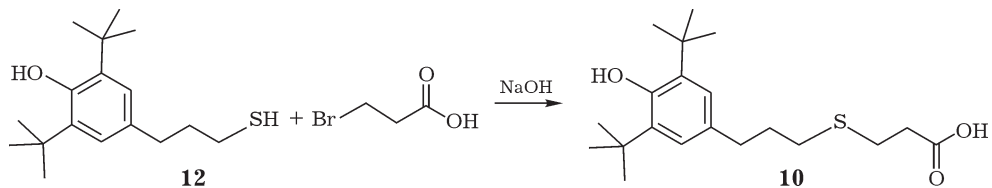
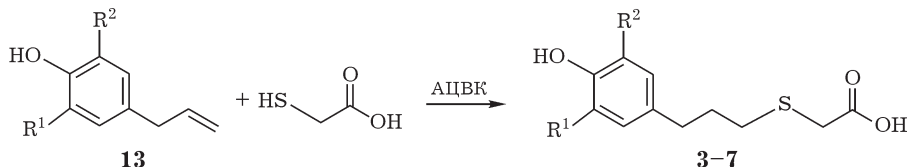


Схема 3.



$R^1 = R^2 = Me$  (**3**), цикло- $C_6H_{11}$  (**4**);  $R^1 = Me$ ,  $R^2 = t\text{-Bu}$  (**5**), цикло- $C_6H_{11}$  (**6**);  
 $R^1 = H$ ,  $R^2 = OMe$  (**7**)

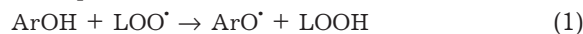
Схема 4.

Способность синтезированных соединений **1–10** ингибировать окисление липидных субстратов изучали в модельной реакции автоокисления метилолеата при 60 °C. В качестве эталона сравнения использовали фенозан.

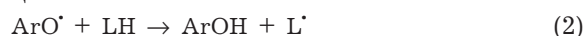
Согласно полученным данным (рис. 1, *a*), в рассматриваемой модельной системе синтезированные тиоэтановые кислоты **1–9** существенно различались по противоокислительной активности: в концентрации 1 мкмоль/г они увеличивали период индукции автоокисления метилолеата в 2–93 раза, при этом наименее эффективным ингибитором окисления оказалась орто-незамещенная кислота **2**, наиболее эффективным – орто-ди-*трет*-бутилзамещенная кислота **1**. Последовательное удаление *трет*-бутильных орто-заместителей в ряду соединений **1–8–2**, замена *трет*-бутильных заместителей на метильные в ряду **1–5–3**, а также на циклогексильные при переходе от **1** к **4**, от **5** к **6**

и от **8** к **9** приводили к снижению эффективности противоокислительного действия.

Известно, что в основе антиоксидантной активности фенольных соединений (ArOH) лежит их способность взаимодействовать с активными радикалами, в том числе липопероксидными ( $LOO^\cdot$ ), с образованием стабильных феноксилов ( $ArO^\cdot$ ):



Изменение числа и строения орто-заместителей, с одной стороны, приводит к изменению реакционной способности фенолов в реакции (1), с другой, – к изменению устойчивости феноксильных радикалов и вероятности их участия в реакции продолжения цепей окисления:



При этом реакционная способность феноксилов в реакции (2) существенно возрастает при уменьшении экранирующего эффекта орто-заместителей [15].

Ранее было показано [10], что 4-(3-алкилтиопропил)фенолы, содержащие в орто-положениях *трет*-бутильные, метильные и циклогексильные группы, характеризуются близкими значениями константы скорости взаимодействия с липопероксидными радикалами метилолеата. Таким образом, снижение эффективности ингибирующего действия в отношении автоокисления метилолеата в ряду тиоэтановых кислот **1–9** при уменьшении степени пространственного экранирования фенольной группы OH обусловлено, главным образом, снижением устойчивости соответствующих феноксильных радикалов.

Соединения с одинаковым типом орто-замещения – тиоалкановые кислоты **1, 10** и фенозан – в рассматриваемой модельной системе также различались по противоокислительной активности (см. рис. 1, *b*).

В отличие от фенозана кислоты **1, 10** по молекулярному дизайну представляют собой антиоксиданты с бифункциональным принципом действия: в их структуре, наряду с фенольным фрагментом, обладающим антирадикальной активностью, присутствует сульфидная группа, способная восстанавливать предшественники активных радикалов – липопероксиды. Это предполагает наличие у данных соединений более высокой антиоксидантной активности. Вместе с тем, в концентрации

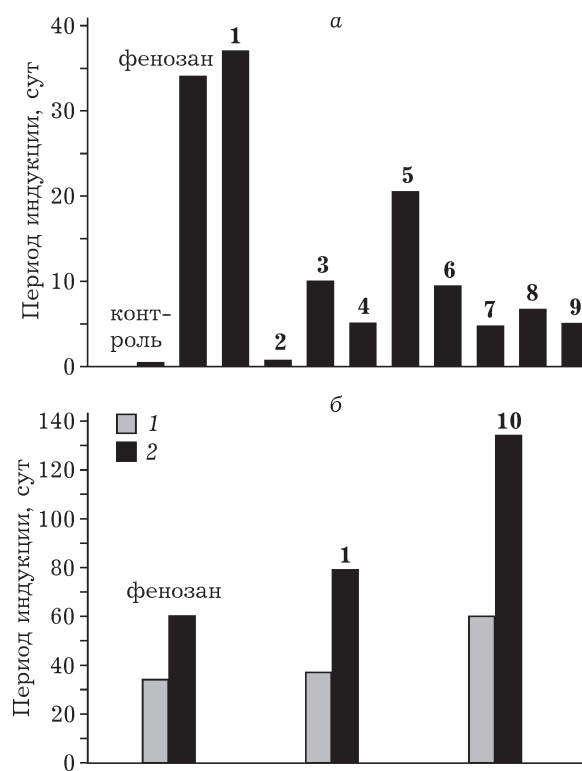


Рис. 1. Диаграмма периодов индукции окисления метилолеата (60 °C), ингибированного фенозаном и различными кислотами: *a* – 2-[3-(4-гидроксиарил)пропилтио]-этановыми **1–9** (1 мкмоль/г), *б* –  $\omega$ -[3-(3,5-ди-*трет*-бутил-4-гидроксифенил)пропилтио]алкановыми **1, 10**; концентрация, мкмоль/л: 1 (1), 2 (2).

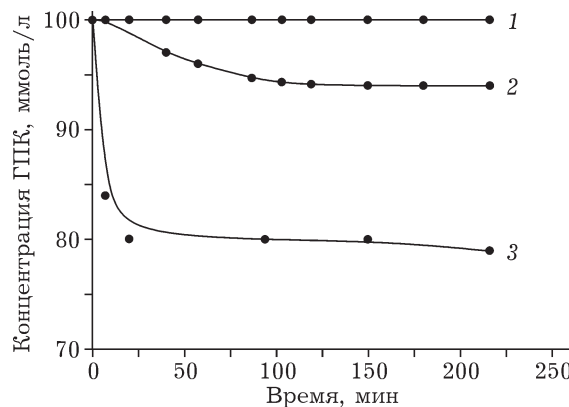


Рис. 2. Кинетические кривые разложения гидропероксида кумола (ГПК) в присутствии 0.01 М фенозана (1) и  $\omega$ -[3-(3,5-ди-*трет*-бутил-4-гидроксифенил)пропилтио]алкановых кислот 1, 10 (2, 3) при 60 °C.

1 мкмоль/г фенозан и тиоэтановая кислота 1 ингибирировали автоокисление метилолеата с близкой эффективностью, а в концентрации 2 мкмоль/г тиоэтановая кислота 1 пре-восходила по эффективности фенозан лишь в 1.3 раза. В тех же концентрациях продолжительность ингибирования окисления метилолеата тиопропановой кислотой 10 в 1.8–2.2 раза превышала таковую для фенозана и в 1.6–1.7 раза – для тиоэтановой кислоты 1.

С целью выявления возможной причины различий в эффективности противоокислительного действия кислот 1, 10 нами проведена сравнительная оценка их противопероксидной активности в модельной реакции разложения гидропероксида кумола (ГПК) [16].

Согласно полученным данным (рис. 2), выдерживание раствора 0.1 М ГПК в уксусной кислоте при 60 °C в течение 4 ч не привело к изменению концентрации гидропероксида, а добавки фенозана в систему не влияли на устойчивость ГПК. В тех же условиях в присутствии тиоалкановых кислот 1 и 10 (0.01 моль/л) наблюдалось снижение концентрации ГПК, причем начальная скорость взаимодействия ГПК с тиопропановой кислотой 10 ( $1 \cdot 10^{-3}$  М/с) оказалась значительно выше по сравнению с таковой для тиоэтановой кислоты 1 ( $7.5 \cdot 10^{-5}$  М/с). Кроме того, тиоэтановая кислота 1 взаимодействовала с ГПК в молярном отношении 1 : 1, а тиопропановая кислота 10 – в соотношении 1 : 2, что свидетель-

ствует о более глубоком окислении ее сульфидной группы.

Таким образом, более низкая антиоксидантная активность тиоэтановой кислоты 1 по сравнению с гомологом 10 при автоокислении метилолеата, скорее всего, связана с ее меньшей противопероксидной активностью. Последнее обусловлено влиянием карбоксильной группы на электронную плотность атома серы. Согласно данным [17, 18], взаимодействие сульфидов с гидропероксидами начинается с переноса электрона с атома серы на гидропероксид. Соответственно, снижение электронной плотности на атоме серы под влиянием электроноакцепторных заместителей должно приводить к уменьшению противопероксидной активности сульфидной группы.

## ЗАКЛЮЧЕНИЕ

По результатам проведенных исследований, в ряду синтезированных нами  $\omega$ -[3-(4-гидроксиарил)пропилтио]алкановых кислот наиболее эффективные ингибиторы автоокисления липидных субстратов – о-ди-*трет*-бутилзамещенные соединения.

$\omega$ -[3-(3,5-Ди-*трет*-бутил-4-гидроксифенил)-пропилтио]алкановые кислоты по антиокислительному действию превосходят известный биоантиоксидант фенозан благодаря противопероксидной активности сульфидных групп и перспективны для дальнейших исследований в качестве ингибиторов свободнорадикальных процессов в биологических системах.

## СПИСОК ЛИТЕРАТУРЫ

- Меньщикова Е. Б., Зенков Н. К., Ланкин В. З., Бондарь И. А., Труфанин В. А. Окислительный стресс: Патологические состояния и заболевания. Новосибирск: АРТА, 2008. 284 с.
- Ерохин В. Н., Кременцева А. В., Семенов В. А., Бурлакова Е. Б. // Изв. РАН. Сер. биол. 2007. № 5. С. 583–590.
- Жижина Г. П., Заварыкина Т. М., Миль Е. М., Бурлакова Е. Б. // Рад. биология. Радиоэкология. 2007. Т. 47, № 4. С. 414–422.
- Миль Е. М., Албантова А. А., Бурлакова Е. Б. // Радиационная биология. Радиоэкология. 2010. Т. 50, № 1. С. 58–64.
- Кондратенко С. Н., Стародубцев А. К., Белякова Г. А. // Хим.-фарм. журн. 2009. Т. 43, № 11. С. 54–56.
- Зенков Н. К., Меньщикова Е. Б., Кандалинцева Н. В., Олейник А. С., Просенко А. Е., Гусаченко О. Н., Шкляева О. А., Вавилин В. А., Ляхович В. В. // Биохимия. 2007. Т. 72, № 6. С. 790–798.

- 7 Кемелева Е. А., Васюнина Е. А., Синицына О. И., Хомченко А. С., Гросс М. А., Кандалинцева Н. В., Просенко А. Е., Невинский Г. А. // Биоорган. химия. 2008. Т. 34, № 4. С. 558–569.
- 8 Плотников М. Б., Просенко А. Е., Смольякова В. И., Иванов И. С., Чернышева Г. А., Кандалинцева Н. В. // Хим.-фарм. журн. 2010. Т. 44, № 3. С. 65–67.
- 9 Олейник А. С., Куприна Т. С., Певнева Н. Ю., Марков А. Ф., Кандалинцева Н. В., Просенко А. Е., Григорьев И. А. // Изв. РАН. Сер. хим. 2007. № 6. С. 1094–1101.
- 10 Просенко А. Е., Марков А. Ф., Хомченко А. С., Бойко М. А., Терах Е. И., Кандалинцева Н. В. // Нефтехимия. 2006. № 6(46). С. 442–446.
- 11 А. с. 1074865 СССР, 1983.
- 12 Просенко А. Е., Терах Е. И., Кандалинцева Н. В., Пинко П. И., Горох Е. А., Толстиков Г. А. // Журн. прикл. химии. 2001. № 11 (74). С. 1839–1842.
- 13 Лясковская Ю. Н., Пиульская В. И. Методы исследования окислительной порчи жиров. М.: ГОСИНТИ, 1960. 50 с.
- 14 Pat. 4.021.468 USA, 1977.
- 15 Рогинский В. А. Фенольные антиоксиданты: Реакционная способность и эффективность. М.: Наука, 1988.
- 16 Терах Е. И., Кандалинцева Н. В., Никулина В. В., Пинко П. И., Просенко А. Е. // Нефтехимия. 2004. № 3 (43). С. 237–240.
- 17 Победимский Д. Г., Бучаченко А. Л. // Изв. АН СССР. Сер. хим. 1968. № 6. С. 1181–1186.
- 18 Победимский Д. Г., Бучаченко А. Л. // Изв. АН СССР. Сер. хим. 1968. № 12. С. 2720–2725.